

磁场望远镜机架设计

杨 还

(南京天文仪器厂)

一、机架型式的选择：

为了简化望远镜跟踪控制系统，采用赤道式机架。赤道式又可分为双柱式和叉式两种，据文献推荐，当地理纬度 $\varphi \geq 40^\circ$ ，建仪采用叉式，而 $\varphi < 40^\circ$ ，采用双柱式。本望远镜安装在北京， $\varphi = 40^\circ$ ，两种型式常匀采用。但太阳望远镜，赤纬角变化范围较小，即 $\delta = \pm 23.5^\circ$ ，叉臂甚短，刚性好，且叉式为对称式，不需另加平衡重，故重量轻，结构尺寸亦小，外形美观，故我们选择叉式机架。图1为望远镜外貌。

二、仪器的跟踪精度分析：

1、太阳本身运动的不均匀性：

$$\frac{d\Delta t}{dT} = 5''/5\text{分钟}; \quad \frac{d\Delta\delta}{dT} = 1.6''/5\text{分钟}.$$

2、电机的稳速精度为 $\frac{1}{1000}$

$$\frac{d\Delta t}{dT} = \frac{5 \times 15 \times 60''}{1000 \times 5\text{分钟}} = 4.5''/5\text{分钟}$$

3、蒙气差：

由于蒙气差的影响，太阳的真坐标 $(\delta_{\odot}, t_{\odot})$ 与观察到的太阳坐标 (δ, t) 是有差异的。其差值 $\Delta\delta, \Delta t$ 与地理纬度 φ ，纬角 δ ，时角 t 有关，计算公式相当复杂，这里只把计算的结果列在下面。

$\delta = 0$	t	30°	35°	40°	45°	50°	55°	60°
		7.5''	8.4''	9.4''	11.6''	14.3''	17.6''	25.4''
		3.5''	4.3''	5.2''	8.6''	8.1''	12.4''	19''

由表上数据可见，当 t 在 $55^\circ \sim 60^\circ$ 时，产生最大的跟踪误差。

$$\frac{d\Delta t}{dT} = \frac{25.4'' - 17.6''}{20\text{分钟}} = 2''/5\text{分钟}, \quad \frac{d\Delta\delta}{dT} = \frac{19'' - 12.4''}{20\text{分钟}} = 1.65''/5\text{分钟}.$$

4. 镜筒的自重变形: 已知: $l=240\text{cm}$, 外径 $D=49\text{cm}$, 内径 $d=48.2\text{cm}$ B点处主镜重量 $W=50\text{kg}$ 焦距 $F=280\text{cm}$, 镜筒的惯性矩

$$J = \frac{\pi(D^4 - d^4)}{64} = 35000\text{cm}^4$$

自重的均布负荷 q :

$$q = \frac{3.14 \times 48.2 \times 0.8 \times 7.8}{1000} = 0.944\text{kg/cm}$$

设镜筒处于水平时, 则 $p=W=50\text{kg}$

$$f_B = \frac{pl^3}{3EJ} + \frac{ql^4}{8EJ} = 8.9 \times 10^{-3}\text{cm}$$

而B点的转角, 对折射系统而言, 不引入准直误差, 故不加计算。

$$\text{准直误差 } C_0 = \frac{f_B}{F} \times 2 \times 10^5 = 6.35'', \quad \text{当镜筒的地平高度为 } h$$

时, 则准直差 $C=C_0 \cdot \cos h$ 。按球面天文公式, (图2), 镜筒高度 h 与 δ , φ , t 有关 $\sinh = \sin\varphi \cdot \sin\delta + \cos\varphi \cdot \cos\delta \cdot \cosh$ 。

计算不同 δ , t 时, 镜筒的地平高度 h , 及相应的准直误差 c , 和准直误差的变化值 $dh=c \cdot \Delta \cosh$ 。并计算引入的定位误差 $d\Delta t$, 求出跟踪误差列于表1。

表 1

t	$\delta=0$				$\delta=23.5^\circ$			
	60°	45°	30°	15°	60°	45°	30°	15°
Sinh	0.38	0.54	0.66	0.74	0.608	0.753	0.865	0.934
Cosh	0.925	0.842	0.751	0.673	0.794	0.658	0.502	0.357
ΔCosh	0.083	0.091	0.078		0.136	0.156	0.145	
h	22.33°	32.68°	42.30°	47.73°	37.45°	48.85°	59.88°	69.07°
Δh	10.35°	9.62°	5.43°		11.4°	11.03°	9.19°	
$\Delta t / \Delta h$	1.45	1.56	2.76		1.316	1.36	1.63	
$dh = Co \cdot \Delta \text{Cosh}$	$0.53''$	$0.58''$	$0.50''$		$0.86''$	$0.99''$	$0.92''$	
$d\Delta t = \frac{\Delta t}{\Delta h} \cdot dh$	$0.768''$	$0.905''$	$1.38''$		$1.13''$	$1.35''$	$1.50''$	
$d\Delta t/dT''/5\text{分钟}$	$0.064''/5\text{分钟}$	$0.075''$	$0.115''$		$0.094''$	$0.113''$	$0.125''$	

由表1可见, 由于镜筒的自重变形引入的最大跟踪误差 $d\Delta t/dT=0.125''/5\text{分钟}$

5、叉臂的变形、(对照图3) 叉臂(即AB) 的转角 θ_B 引起赤纬误差为 $\Delta\delta=\theta_B \cdot \cos\varphi$, cost 。已知 $W=1000\text{kg}$ $l_{\text{叉}}=46\text{cm}$,

$$J_{\text{叉}} = \frac{1}{12} (ab^3 - a_1 b_1^3) = 36883\text{cm}^4, \quad p = \frac{W}{2} \cdot \cos\varphi = 383\text{kg},$$

$$q = (ab - a_1 b_1) \cdot r \cdot \text{比重} \cdot \cos\varphi = 0.93\text{kg/cm}$$

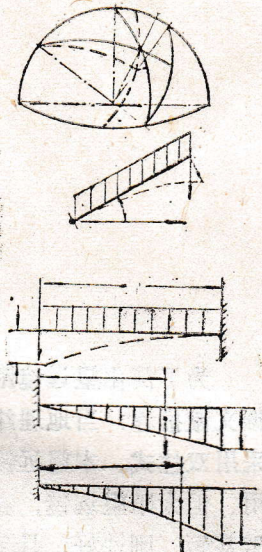


图 2

$$\theta_s = \frac{Pl^2}{6EJ} + \frac{ql^3}{6EJ} = 0.57 \times 10^{-6} = 1.14''$$

当 $t=55^\circ \sim 60^\circ$ 时, $d\Delta\delta=0.064''$

$$\therefore \frac{d\Delta\delta}{dT} = \frac{0.064''}{20 \text{分钟}} = 0.016''/\text{分钟}$$

6. 赤纬轴承的变形(见图4)

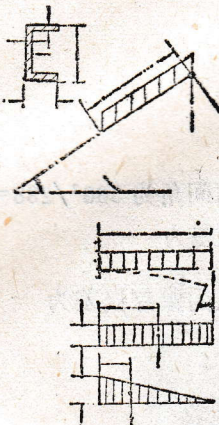


图 3

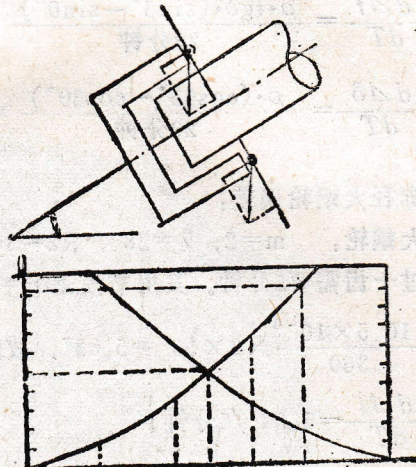


图 4

赤纬轴承选用双列调心滚珠轴承。 $d_m=1.9\text{cm}$, $Z=30$ 粒, $\beta=12^\circ$, $W=1000\text{kg}$

$$R=W\sin\varphi \quad A=W\cdot\cos\varphi \quad \varphi=40^\circ, \text{故 } R=343\text{kg}, A=766\text{kg}.$$

为使两叉臂都承受负荷, 轴承应加预紧力 A_0 ,

$$A_0=1.58 \cdot \operatorname{tg}\beta \cdot R+0.5A=600\text{kg}, \text{ 预紧后, 轴承的钢珠承受的预紧力为 } p_0,$$

$$\text{预变形为 } \delta_0, p_0=\frac{A_0}{Z \cdot \operatorname{tg}\beta}=94\text{kg}; \quad \delta_0=1435 \times 10^{-7} \times 3 \sqrt{\frac{p_0^2}{d_m}}=24 \times 10^{-4}\text{cm}$$

加载后, 各轴承承受的负荷应为

$$R_1=R_2=321\text{kg}; \quad A_1=A_2=383\text{kg}.$$

钢珠受力

$$p_{\text{负}}=\frac{5R_1}{2 \cdot Z \cdot \cos\beta}+\frac{A_1}{Z \cdot \operatorname{tg}\beta}=87.4\text{kg}$$

轴承在预紧力和负荷共同作用下的总变形为 δ 。

$$\delta=1435 \times 10^{-7} \times 3 \sqrt{\frac{(p_0+p_{\text{负}})^2}{d_m}}=37 \times 10^{-4}\text{cm}$$

负荷变形为 $\Delta\delta_{\text{负}}=\delta-\delta_0=13 \times 10^{-4}\text{cm}$ 。

由此引入轴系不正交 $i_1=\frac{2 \cdot \Delta\delta}{l}=5.84''$, 加上加工装配时原有的轴系不正交偏差 $i_2 \approx$

$5''$, 变形后总的不正交偏差约 $i=i_1+i_2=12''$, 由于 i 引入定位误差 $\Delta t=i \cdot \operatorname{tg}\delta \cdot \cot t$, 当 t 为

55°~60°时，跟踪误差最大，故其最大跟踪误差

$$\frac{d\Delta t}{dT} = \frac{i \cdot \operatorname{tg}\delta \cdot (\cos 60^\circ - \cos 55^\circ)}{20 \text{分钟}} = 0.1''/\text{5分钟}$$

7、极轴的调整偏差

ρ 表示仪器极与真极的偏离量。我们要求仪器极的调整误差为 $\rho = 30'' \sim 60''$ ，由 ρ 引入的定位误差为 $\Delta t = \rho$ 、 $\operatorname{tg}\delta$ 、 $\sin t$ ， $\Delta\delta = \rho \cdot \cos t$ ，其跟踪误差为：

$$\frac{d\Delta t}{dT} = \frac{\rho \cdot \operatorname{tg}\delta \cdot (\sin 5^\circ - \sin 0^\circ)}{20 \text{分钟}} = 0.57''/\text{5分钟}$$

$$\frac{d\Delta\delta}{dT} = \frac{\rho \cdot (\cos 55^\circ - \cos 60^\circ)}{20 \text{分钟}} = 1.1''/\text{5分钟}$$

8、赤径大蜗轮误差：

赤径大蜗轮： $m=2$, $Z=288$, $R_2=360$, 五级精度, 齿间角为 $360^\circ/288=75'$, 即跟踪时每转过一齿需要5分钟。其用节误差 $\delta t=10.5\mu$ 相应的角偏差为

$$\frac{10.5 \times 10^{-3}}{360} \times 2 \times 10^5 = 5.83'', \text{ 故由于蜗轮误差列入的跟踪误差为}$$

$$\frac{d\Delta t}{dT} = 5.83''/\text{5分钟}.$$

综合以上八种因素引入的跟踪误差列于下表：

	太阳不均匀	电机不稳速	蒙气差	镜筒变形	叉臂变形	轴承变形	极轴偏离	蜗轮周节差	综合
$d\Delta t/dT$	5''	4.5''	2''	0.125''		0.1''	0.57''	5.83''	9.14''/5分钟
$d\Delta\delta/dT$	1.6''		1.65''		0.016''		1.1''		2.55''/5分钟

由表可见，误差主要来源为传动误差（包括蜗轮误差及电机不稳速），其次为极轴的调整误差，再其次为变形误差，蒙气差应设法改正。

三、仪器的刚度计算

本仪器要求在5级风力下，仪器抖动小于1''。

1、镜筒的风荷抖动 θ_1 ；（如图5）已知： $l_1=240\text{cm}$, $l_2=110\text{cm}$, $D=49\text{cm}$, 壁厚 $\delta_1=1\text{cm}$, $\delta_2=0.5\text{cm}$ ，故 $J=2J_2=44000\text{cm}^4$ V风速=10.7米/秒； ρ 密度= $\frac{1}{8}$ 公斤秒²/米⁴

$Cx=0.74$ 。 $F=280\text{cm}$ $q_F=Cx \cdot \rho \cdot \frac{V^2}{2} D=0.026\text{kg/cm}$, 图中a——梁的尺寸，惯性矩；

b——负载图q; c——弯矩图M d——虚梁负载图q_f, e——虚梁的弯矩图M_f。

由图可见 $q_{f1}=\frac{1}{2}ql_1^2$, $q_{f2}=\frac{1}{2}ql_2^2$,

$$M_{t1} = g_{t1} \cdot \frac{l_1}{8} \cdot \frac{3}{4} l_1 = \frac{1}{8} q l_1^4, \quad M_{t2} = \frac{1}{8} q l_2^4$$

B 点弯沉 $Y_B = \frac{M_{t1} + M_{t2}}{EJ} = \frac{1}{8EJ} q(l_1^4 + l_2^4) = 1.28 \times 10^{-4} \text{ cm}$

风力抖动 $\theta_1 = \frac{Y_B}{F} \times 2 \times 10^5 = 0.1''$

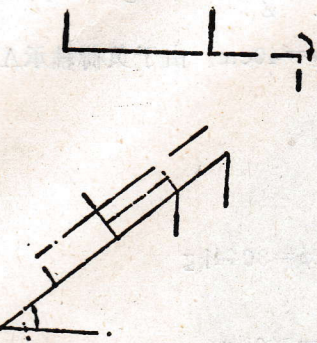


图 6

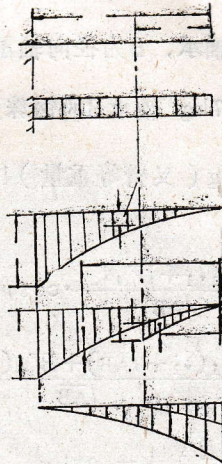


图 5

2、叉臂的风荷抖动 θ_2 :

叉臂端点受到一个风力 $P_{风}$ 及风力矩 $M_{风}$,

$$P_{风} = \frac{1}{2} q_{风} \cdot 1_{镜筒} = 3.12 \text{ kg}; \quad M_{风} = \frac{1}{2} q_{风} \cdot l_1^2 = 750 \text{ kg-cm}$$

$$J_{叉} = 36883 \text{ cm}^4, \quad l_{叉} = 46 \text{ cm}.$$

叉臂在风荷下的总转角 θ_2

$$\theta_2 = \frac{P_{风} \cdot l_{叉}^2}{2EJ_{叉}} + \frac{M_{风} \cdot l_{叉}}{EJ_{叉}} = 0.009'' + 0.094'' = 0.1''$$

3、赤纬轴承的风力抖动 θ_3 :

$$\text{由于 } M_{风} \text{ 轴承中所受径向力 } R_{风} = \frac{M_{风}}{1_{轴承距}} = \frac{750}{89} = 8.4 \text{ kg}$$

$$\text{钢珠受力为 } P_{风} = \frac{5R_{风}}{2 \cdot Z \cdot \cos \beta} = 1 \text{ kg}$$

轴承在预紧力, 负载, 及风力作用下的总变形为

$$\delta_{总} = 1435 \times 10^{-7} \times 3 \sqrt{\frac{(P_{重力} + P_0 + P_{风})^2}{d_m}} = 37.26 \times 10^{-4} \text{ cm}$$

$$\text{风力变形 } \Delta \delta_{风} = \delta_{总} - \delta = (37.26 - 37) \times 10^{-4} = 0.26 \times 10^{-4} \text{ cm.}$$

$$\text{风力抖动 } \theta_3 = \frac{2 \cdot \Delta \delta_{风}}{1_{轴承距}} = 0.12''$$

4、赤径轴承的变形引起的极轴抖动 θ_4 ，(图6)已知， $l_{AB} = AB = 38\text{cm}$,
 $l_{BC} = BC = 24\text{cm}$, 轴承A, B在风力 $P_{风}$ 和 $M_{风}$ 作用下的支反力

$$R_{A\text{风}} = \frac{P_{风} \cdot l_{BC} + M_{风}}{l_{AB}} = 24\text{kg}$$

$$R_{B\text{风}} = \frac{P_{风} \cdot l_{AC} + M_{风}}{l_{AB}} = 30\text{kg}$$

轴承A为径向止推轴承，B为径向轴承。Z=20, $\beta=26^\circ$ 轴承A的钢珠受的力

$P_{A\text{风}} = \frac{5R_{A\text{风}}}{Z \cdot \cos\beta} = 7\text{kg}$ 轴承B的钢珠受力 $P_{B\text{风}} = \frac{5R_{B\text{风}}}{Z} = 7.5\text{kg}$ $W_1 = 1000\text{kg}$ (镜筒重量); $W_2 = 500\text{kg}$ (叉臂等重量) $l_1 = 74\text{cm}$, $l_2 = 40\text{cm}$. 由于负荷轴承A, B分别承受的径向力

$$R_A = \frac{W_1 l_1 + W_2 l_2}{l_{AB}} \cdot \cos\phi = 1895\text{kg}$$

$$R_B = \frac{W_1(l_1 + l_{AB}) + W_2(l_2 + l_{AB})}{l_{AB}} \times \cos\phi = 3044\text{kg}$$

$$P_A = \frac{5R_A}{Z \cdot \cos\beta} = 527\text{kg}; \quad P_B = \frac{5R_B}{Z} = 760\text{kg}$$

$$\delta_{A\text{重力}} = 96 \times 10^{-6} \times 3 \sqrt{\frac{P_A^2}{d_A}} = 39.5 \times 10^{-4}\text{cm} \quad (d_A = 4\text{cm})$$

$$\delta_{B\text{重力}} = 96 \times 10^{-6} \times 3 \sqrt{\frac{P_B^2}{d_B}} = 48.5 \times 10^{-4}\text{cm} \quad (d_B = 4.5\text{cm})$$

在重力及风力作用下，轴承A, B的总变形为

$$\delta_A = 96 \times 10^{-6} \times 3 \sqrt{\frac{(P_B + P_{A\text{风}})^2}{d_A}} = 40 \times 10^{-4}\text{cm}$$

$$\delta_B = 96 \times 10^{-6} \times 3 \sqrt{\frac{(P_B + P_{B\text{风}})^2}{d_B}} = 49 \times 10^{-4}\text{cm}$$

$$\therefore \Delta\delta_{A\text{风}} = \Delta\delta_{B\text{风}} = 0.5 \times 10^{-4}\text{cm}$$

风力引起的极轴抖动为 θ_4

$$\theta_4 = \frac{2 \cdot \Delta\delta_{\text{风}}}{l_{AB}} = 0.52''$$

5、蜗轮的风力变形

赤径蜗轮 $R_{z1} = 36\text{cm}$; 赤纬蜗轮 $R_{z2} = 30\text{cm}$.

蜗杆 $d_z = 5.1\text{cm}$; 材料的弹性模量分别为

$E_1 = 1.1 \times 10^{-6}\text{kg/cm}^2$ (铸铁) $E_2 = 2 \times 10^{-6}\text{kg/cm}^2$ (钢蜗轮的压力角 $\alpha = 12^\circ$). 喷合点的曲率半径分别为 $\rho_1 = \infty$; $\rho_2 = R_z \cdot \sin\alpha = 6.2\text{cm}$; 接触线的长度

$$l_p = \pi \cdot d_2 \cdot \frac{2\gamma}{360^\circ} \cdot \zeta = 6.4 \text{ cm},$$

接触变形

$$\delta_0 = 0.65 \left(\frac{1}{E_1} + \frac{1}{E_2} \right) \cdot \frac{P_{\text{风}}}{l_p} \cdot \lg \left[\left(\frac{1}{E_1} + \frac{1}{E_2} \right) \left(\frac{1}{\rho_1} + \frac{1}{\rho_2} \right) \cdot P_{\text{风}} \right]$$

赤纬蜗轮变形造成的抖动 θ_5'

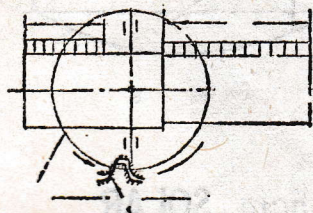
$$\theta_5' = \delta' / R\alpha_2 = 0.1''$$

赤经蜗轮变形造成的抖动 θ_5''

$$\theta_5'' = \delta_0 / R\alpha_1 = 0.08''$$

仪器的风力抖动为 $\theta_{\text{风}} = \sum_{i=1}^5 \theta_i = 0.94'' < 1''$ 满足设计要求。

四、反力矩（图7）



$$M_{\text{反}} = (M_{\text{阻}} + M_{\text{风}}) \cdot K; \quad M_{\text{阻}} = 3.35 \text{ kg-m}$$

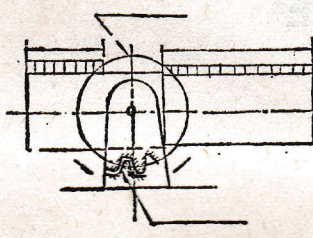
$$M_{\text{风}} = q_1 \times 230 \times 155 - q_2 \times 104 \times 92 = 525 \text{ kg-cm}$$

$$M_{\text{反}} = (3.35 + 525) \times (1.2 \sim 1.4) = 10 \sim 12 \text{ 公斤-m}.$$

采用力矩电机加反力矩，传动比 $i = 90$, $\eta = 0.9$,

$$M_{\text{反电}} = \frac{M_{\text{反}}}{i \cdot \eta} = 0.12 \sim 0.14 \text{ kg-m}.$$

选用SYL-20电机



五、其 它

1、赤纬轴承：选球面调心轴承，以防卡死。轴承应加预载

2、底座调节：采用高度和方位分别调节，互不影响。调节范围 $\pm 1^\circ$ 。

3、反力矩的目的，是为了消除蜗轮付间隙，保证望远镜跟踪时始终一个齿面啮合。以增加仪器的扭转刚度，否则在风力作用下仪器抖动很大（抖动=间隙）。

4、限位：赤径 $\pm 105^\circ$

赤经 $\pm 24^\circ$

仪器在极限位置时，发出信号并自动停止。

5、由于本仪器观测太阳，而太阳自身运动不均匀性很大，加之蒙气差的影响，以及传动误差等在作较长时间跟踪时，必须导星。

六、极轴的调整方法

假定仪器极与真极偏离 (ρ, θ)，则引入赤纬的变化。按天文公式： $\Delta\delta = \rho \cdot \cos(\theta - t)$

$$\Delta\delta = \rho \cdot \cos\theta \cdot \cos t + \rho \cdot \sin\theta \cdot \sin t$$

$$\therefore \Delta\delta = \Delta\phi \cdot \cos t + \Delta A \cdot \cos\phi \cdot \sin t$$

根据上式，我们在子午面，及与子午面等时距的三个位置，测量某一星体的赤纬值 $\delta_1, \delta_2, \delta_3$ (假定取 $t = \pm 60^\circ$)

$$\text{则 } \delta_2 - \delta_1 = \Delta\phi \cdot [\cos 0^\circ - \cos(-60^\circ)] + \Delta A \cdot \cos 40^\circ [\sin 0^\circ - \sin(-60^\circ)]$$

$$\therefore \delta_2 - \delta_1 = 0.5 \Delta\phi + 0.663 \Delta A$$

$$\text{同理 } \delta_3 - \delta_1 = -0.5 \Delta\phi + 0.663 \Delta A$$

$$\therefore \begin{cases} \Delta A = (\delta_3 - \delta_1) / 1.326 \\ \Delta\phi = 2\delta_2 - \delta_1 - \delta_3 \end{cases}$$

根据 $\delta_1, \delta_2, \delta_3$ 计算出 $\Delta A, \Delta\phi$ 分别调整底座的方位，和高度。(见图 8)

P—真极 Z—天顶 P'—仪器极 $\widehat{PP'} = \rho$

$\angle P'PZ = \theta$ S—星体 δ —赤纬 ϕ —地理纬度

$\Delta\phi, \Delta A$ —仪器极的高度偏差和方位偏差

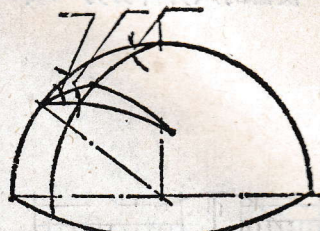


图 8

THE MOUNTING DESIGN FOR THE 35cm SOLAR MAGNETIC FIELD TELESCOPE

Yan Huan

(Nanjing Astronomical Instrument Factory)

Abstract

A fork type equatorial mounting was adopted for the 35cm Solar Magnetic Field Telescope. In this paper, the author analyses the tracking error introduced by various factors of the telescope; investigates the methods to reduce the deformation, lighten the weight and enhance the rigidity for the telescope; gives the calculation results of the deformations caused by the gravitation and wind force with corresponding errors for the tube, the fork, the polar axis and the bearings; checking calculates wind forced drift of the telescope (less than 1" under force 5 wind). Besides, the methods of prestressing the bearings and adjusting the polar axis are also described.